

## РАСПРЕДЕЛЕНИЕ ОСВЕЩЕННОСТИ В ИЗОБРАЖЕНИИ ТОЧКИ И ПЕРЕДАТОЧНАЯ ФУНКЦИЯ ПРИ ДВОЙНОМ ЛУЧЕПРЕЛОМЛЕНИИ В ЭЛЕМЕНТАХ ОПТИЧЕСКОЙ СИСТЕМЫ

В. А. Комиссарук

Приведены общие выражения, с помощью которых можно оценить влияние двойного лучепреломления на свойства оптической системы, работающей в естественном свете при некогерентном освещении. Для осесимметричного случая с квадратичной зависимостью разности хода от радиуса зрачка даны кривые передаточной функции.

Двойное лучепреломление как следствие разного рода напряжений часто присуще прозрачным компонентам оптических систем хотя бы в малой степени. Представляется уместным поэтому рассмотреть его влияние на качество изображения. Воспользуемся системой координат и обозначениями из обзорной работы Хопкинса [1]: там  $x, y$  — безразмерные координаты в плоскости выходного зрачка и  $u', v'$  — в плоскости изображения;  $W(x, y)$  — волновая aberrация (двойное лучепреломление отсутствует),  $\alpha(x, y)$  — функция амплитудного пропускания, равная нулю за пределами зрачка. Комплексная амплитуда колебания в зрачке

$$f(x, y) = \alpha(x, y) e^{ikW(x, y)}, \quad (1)$$

$k = 2\pi/\lambda$ ,  $\lambda$  — длина волны.

Распределение освещенности в изображении точки (с точностью до постоянного множителя  $C$ )

$$G(u', v') = C \left| \int_{-\infty}^{+\infty} \int_{-\infty}^{+\infty} f(x, y) e^{i2\pi(u'x+v'y)} dx dy \right|^2. \quad (2)$$

Передаточная функция при некогерентном освещении

$$D(s) = \frac{\int_{-\infty}^{+\infty} \int_{-\infty}^{+\infty} f\left(x + \frac{s}{2}, y\right) f^*\left(x - \frac{s}{2}, y\right) dx dy}{\int_{-\infty}^{+\infty} \int_{-\infty}^{+\infty} f(x, y) f^*(x, y) dx dy}. \quad (3)$$

Здесь  $s$  — приведенная частота; звездочка означает комплексно сопряженную величину.

Предположим теперь, что оптическая система обладает двойным лучепреломлением; свойства ее в этом отношении могут быть описаны разностью хода  $w(x, y)$  и азимутом одного из главных направлений  $\psi(x, y)$ . В дальнейшем  $\psi(x, y)$  — это угол между осью  $x$  и направлением поляризации быстрых лучей. Волновую aberrацию  $W(x, y)$  будем понимать как



среднее из величин  $W_{1,2}(x, y)$ , которые определяют фазу колебаний на сфере сравнения в быстром и медленном лучах. При этом

$$W_1(x, y) = W(x, y) + \frac{1}{2} w(x, y),$$

$$W_2(x, y) = W(x, y) - \frac{1}{2} w(x, y).$$

Далее примем, что оптическая система работает в естественном свете, который состоит из двух некогерентных компонент, поляризованных по направлениям осей  $x$  и  $y$ . Стандартным приемом разложим колебания в каждой точке зрачка  $x, y$  по тем же направлениям. Складывая освещенности от колебаний, поляризованных взаимно перпендикулярно или некогерентных, находим функцию рассеяния в изображении точки

$$G_w(u', v') = \frac{1}{2} C \left[ \left| \int_{-\infty}^{+\infty} \int_{-\infty}^{+\infty} a(x, y) (\cos^2 \psi(x, y) e^{ikW_1(x, y)} + \sin^2 \psi(x, y) e^{ikW_2(x, y)}) e^{i2\pi(u'x+v'y)} dx dy \right|^2 + 2 \left| \int_{-\infty}^{+\infty} \int_{-\infty}^{+\infty} a(x, y) \cos \psi(x, y) \sin \psi(x, y) \times \right. \right. \\ \left. \times (e^{ikW_1(x, y)} - e^{ikW_2(x, y)}) e^{i2\pi(u'x+v'y)} dx dy \right|^2 + \left| \int_{-\infty}^{+\infty} \int_{-\infty}^{+\infty} a(x, y) (\sin^2 \psi(x, y) \times \right. \\ \left. \times e^{ikW_1(x, y)} + \cos^2 \psi(x, y) e^{ikW_2(x, y)}) e^{i2\pi(u'x+v'y)} dx dy \right|^2 \right].$$

После некоторых преобразований, формально используя обозначение (1), получим

$$G_w(u', v') = C \left( \left| \int_{-\infty}^{+\infty} \int_{-\infty}^{+\infty} \cos \frac{1}{2} kw(x, y) f(x, y) e^{i2\pi(u'x+v'y)} dx dy \right|^2 + \right. \\ \left. + \left| \int_{-\infty}^{+\infty} \int_{-\infty}^{+\infty} \cos 2\psi(x, y) \sin \frac{1}{2} kw(x, y) f(x, y) e^{i2\pi(u'x+v'y)} dx dy \right|^2 + \right. \\ \left. + \left| \int_{-\infty}^{+\infty} \int_{-\infty}^{+\infty} \sin 2\psi(x, y) \sin \frac{1}{2} kw(x, y) f(x, y) e^{i2\pi(u'x+v'y)} dx dy \right|^2 \right). \quad (4)$$

Обозначим

$$\cos \frac{1}{2} kw(x, y) f(x, y) = f_1(x, y),$$

$$\cos 2\psi(x, y) \sin \frac{1}{2} kw(x, y) f(x, y) = f_2(x, y),$$

$$\sin 2\psi(x, y) \sin \frac{1}{2} kw(x, y) f(x, y) = f_3(x, y).$$



Выражение для передаточной функции, если его выводить из (4) таким же путем, как (3) из (2), выглядит следующим образом:

$$D_w(s) = \frac{\sum_{j=1}^{j=3} \int_{-\infty}^{+\infty} \int f_j \left( x + \frac{s}{2}, y \right) f_j^* \left( x - \frac{s}{2}, y \right) dx dy}{\sum_{j=1}^{j=3} \int_{-\infty}^{+\infty} \int f_j(x, y) f_j^*(x, y) dx dy}.$$

После подстановки и упрощений

$$D_w(s) = \frac{\int_{-\infty}^{+\infty} \int \Gamma_w(x, y, s) f \left( x + \frac{s}{2}, y \right) f^* \left( x - \frac{s}{2}, y \right) dx dy}{\int_{-\infty}^{+\infty} \int f(x, y) f^*(x, y) dx dy}, \quad (5)$$

где

$$\Gamma_w(x, y, s) = \cos \frac{1}{2} kw \left( x + \frac{s}{2}, y \right) \cos \frac{1}{2} kw \left( x - \frac{s}{2}, y \right) + \\ + \cos 2 \times \left[ \psi \left( x + \frac{s}{2}, y \right) - \psi \left( x - \frac{s}{2}, y \right) \right] \sin \frac{1}{2} kw \left( x + \frac{s}{2}, y \right) \sin \frac{1}{2} kw \left( x - \frac{s}{2}, y \right).$$

Коэффициент, тождественный множителю  $\Gamma_w(x, y, s)$ , определяет интенсивность двухлучевой интерференции в присутствии двойного лучепреломления<sup>[2]</sup>. В этом можно убедиться и с помощью выражения (4), заменив в правой части двойной интеграл суммой двух слагаемых. Подобного результата следовало ожидать, зная о способе измерения передаточной функции посредством интерферометра со сдвигом волновых фронтов. Математическое обоснование этого способа<sup>[1]</sup> нетрудно видоизменить применительно к оптической системе с двойным лучепреломлением.

Рассмотрим полученные выражения (4) и (5). При  $w(x, y) \equiv 0$  (двойное лучепреломление отсутствует) или  $w(x, y) \equiv \text{const}$ ,  $\psi(x, y) \equiv \text{const}$  (оптическая система содержит двоякопреломляющую пластинку) они переходят соответственно в (2) и (3). Еще один тривиальный случай — в оптической системе имеется двоякопреломляющий клин. Тогда  $\psi(x, y) = \psi_0$  (азимут главного сечения клина),  $w(x, y) = w_{00} + w_{10}(x \cos \psi_0 + y \sin \psi_0)$ , ( $w_{00}$  и  $w_{10}$  — некоторые постоянные).

Элементарные представления о двоении точки подсказывают, что функцию рассеяния можно выразить, используя обозначение (2), в виде суммы

$$G_w(u', v') = \frac{1}{2} \left[ G \left( u' + \frac{1}{2} u'_0, v' + \frac{1}{2} v'_0 \right) + G \left( u' - \frac{1}{2} u'_0, v' - \frac{1}{2} v'_0 \right) \right],$$

причем

$$u'_0 = \frac{w_{10} \cos \psi_0}{\lambda}, \quad v'_0 = \frac{w_{10} \sin \psi_0}{\lambda}.$$

То же получается из (4).

Далее,

$$D_w(s) = \cos(\pi u'_0 s) D(s),$$

где  $D(s)$  имеет вид (3). Этот результат непосредственно следует из (5).

Рассмотрим теперь частный случай, имеющий некоторое практическое значение: перед безабберационной оптической системой находится защитное стекло с температурой, квадратично изменяющейся по радиусу. Неод-



породность температуры вызывает как общее изменение кривизны волнового фронта, так и двойное лучепреломление из-за термоупругих напряжений. Ввиду осевой симметрии положим

$$\begin{aligned} W(x, y) &= W_{20}\rho^2, \\ w(x, y) &= w_{20}\rho^2, \\ \psi(x, y) &= \varphi \left( \text{или } \varphi \pm \frac{\pi}{2} \right). \end{aligned}$$

Здесь  $W_{20}$  и  $w_{20}$  — соответствующие постоянные, в первой учитывается и возможность фокусировки;  $\rho^2 = x^2 + y^2$ ,  $\varphi$  — азимутальный угол полярных координат.

Найдем выражение для числа Штреля  $E$ , принимая  $\alpha(x, y) \equiv 1$  по зрачку, а сам зрачок круглым. Это число в данном случае равно отношению  $G_w(0, 0)$  к значению этой же величины при  $W_{20} = 0$ ,  $w_{20} = 0$ . После интегрирования и элементарных преобразований получается

$$\begin{aligned} E = \frac{1}{4} & \left\{ \left[ \frac{\sin \frac{1}{2} k \left( W_{20} + \frac{1}{2} w_{20} \right)}{\frac{1}{2} k \left( W_{20} + \frac{1}{2} w_{20} \right)} \right]^2 + \left[ \frac{\sin \frac{1}{2} k \left( W_{20} - \frac{1}{2} w_{20} \right)}{\frac{1}{2} k \left( W_{20} - \frac{1}{2} w_{20} \right)} \right]^2 + \right. \\ & \left. + 2 \frac{\sin \frac{1}{2} k \left( W_{20} + \frac{1}{2} w_{20} \right)}{\frac{1}{2} k \left( W_{20} + \frac{1}{2} w_{20} \right)} \frac{\sin \frac{1}{2} k \left( W_{20} - \frac{1}{2} w_{20} \right)}{\frac{1}{2} k \left( W_{20} - \frac{1}{2} w_{20} \right)} \cos \frac{1}{2} k w_{20} \right\}. \end{aligned} \quad (6)$$

Разложение в ряд при малых значениях  $W_{20}$  и  $w_{20}$  дает

$$E \approx 1 - \frac{1}{12} k^2 (W_{20}^2 + w_{20}^2).$$

Последнее равенство говорит о том, что при малых величинах  $w_{20}$  условие оптимальной фокусировки  $W_{20} = 0$ . При этом

$$E = \left( \frac{\sin \frac{1}{2} k w_{20}}{\frac{1}{2} k w_{20}} \right)^2. \quad (6')$$

Принято считать, что изображение будет высокого качества, если  $E \geq 0.8$ . Этому соответствует, в согласии с критерием Рэля,  $w_{20} \leq \lambda/4$ .

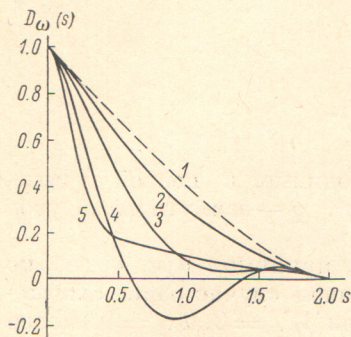
Передаточная функция при осевой симметрии принимает только действительные значения. Следующее выражение было использовано для вычислений на ЭВМ:

$$\begin{aligned} D_w(s) &= \frac{1}{\pi} \iint_S \left[ \cos(kw_{20}sx) - \frac{1}{2} (kw_{20}sy)^2 \frac{\sin \frac{1}{2} kw_{20} \left[ \left(x + \frac{s}{2}\right)^2 + y^2 \right]}{\frac{1}{2} kw_{20} \left[ \left(x + \frac{s}{2}\right)^2 + y^2 \right]} \right] \times \\ & \times \left[ \frac{\sin \frac{1}{2} kw_{20} \left[ \left(x - \frac{s}{2}\right)^2 + y^2 \right]}{\frac{1}{2} kw_{20} \left[ \left(x - \frac{s}{2}\right)^2 + y^2 \right]} \right] \cos(2kW_{20}sx) \, dx \, dy. \end{aligned}$$

[Область интегрирования  $S$  — общая площадь двух кругов с центрами в точках  $\pm s/2, 0$ . Расчетная формула получена из (5) с использованием соотношений в треугольнике, две вершины которого — центры кругов, а третья — точка  $x, y$ ].



Результаты расчетов даны на рисунке. Прерывистая кривая 1 приведена для сравнения; она представляет передаточную функцию совершенной оптической системы с круглым зрачком. Кривые 2—4 рассчитаны при  $W_{20}=0$ ,  $w_{20}=\lambda/4$ ,  $\lambda/2$  и  $\lambda$  соответственно. Хорошо видно снижение контраста по сравнению с кривой 1. Кривая 4 показывает обращение контраста в области средних частот.



Передаточная функция при различных значениях разности хода на краю зрачка.

Кривая 1:  $W_{20}=0$ ,  $w_{20}=0$ ; кривые 2—4:  $W_{20}=0$ ,  $w_{20}=\frac{1}{4}\lambda$ ,  $\frac{1}{2}\lambda$  и  $\lambda$  соответственно; кривая 5:  $W_{20}=0.68\lambda$ ,  $w_{20}=\lambda$ .

$W_{20} \neq 0$ , то для них существуют две плоскости наилучшего изображения, так как оба знака у коэффициента фокусировки равноправны в выражении для передаточной функции.

Автор приносит благодарность А. Г. Беляеву за программирование вычислений.

#### Литература

- [1] Н. Н. Норкин. Proc. Phys. Soc., 79, 889, 1962.  
[2] В. А. Комиссарук. Опт. и спектр., 27, 845, 1969.

Поступило в Редакцию 23 декабря 1969 г.